



ANTENNE IRRADIANTI IN PRESENZA DEL TERRENO: IL PROBLEMA DI SOMMERFELD

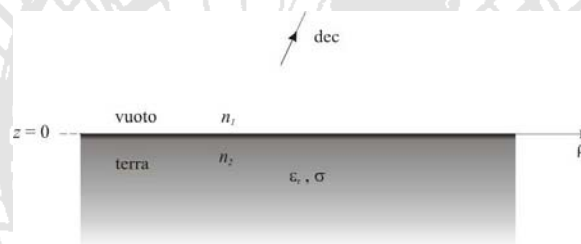
Giuseppe Pelosi
Dipartimento di Elettronica e Telecomunicazioni
Università di Firenze
E-mail: giuseppe.pelosi@unifi.it
URL: <http://ingfi9.det.unifi.it/>

1/27



PROBLEMA GENERALE

Può essere usato come base per risolvere problemi più complessi



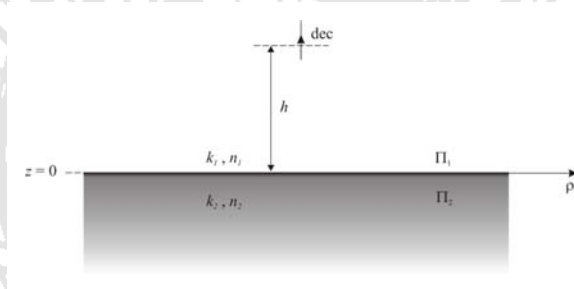
n_1 ed n_2 sono gli indici di rifrazione

2/27



CONFIGURAZIONE DI BASE

Si inizia da un problema più semplice...



k_1 ed k_2 sono le costanti di propagazione

Si lavora col potenziale di Hertz di tipo elettrico Π

$$\mathbf{A} = j\omega\epsilon\mu \Pi$$

3/27



EQUAZIONI DI HELMHOLTZ

$$p = I\Delta z$$

momento del dec

$$n_1 = \frac{k_1}{k_0}$$

indice di rifrazione

Si pone:

$$k_1 = k_0$$

$$n_1 = 1$$

vuoto

Devo risolvere l'equazione di Helmholtz per il potenziale di Hertz Π

(mi interessa la componente lungo z perché il dec è verticale)

Mezzo 1



$$\nabla^2 \Pi_{1z} + k_1^2 \Pi_{1z} = -j \frac{p}{\omega \epsilon_0 n_1^2} \delta(x) \delta(y) \delta(z-h)$$

Nel mezzo 2 non si hanno sorgenti



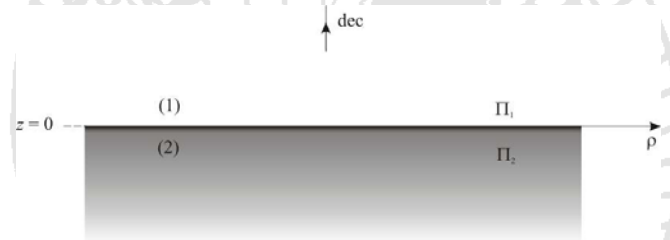
$$\nabla^2 \Pi_{2z} + k_1^2 \Pi_{2z} = 0$$

4/27



CONTINUITÀ TRA I DUE MEZZI

Risolte le equazioni di Helmholtz si impongono le condizioni di continuità fra i due mezzi (in $z = 0$) per la determinazione delle costanti di integrazione



Noti i potenziali di Hertz si ricavano i potenziali vettore e quindi i campi

$$\Pi_1 \rightarrow \mathbf{A}_1 \rightarrow (\mathbf{E}_1, \mathbf{H}_1)$$

$$\Pi_2 \rightarrow \mathbf{A}_2 \rightarrow (\mathbf{E}_2, \mathbf{H}_2)$$

5/27



UN ESEMPIO

$$\mathbf{H}_{(1,2)} = \frac{1}{\mu} \nabla \times \mathbf{A}_{(1,2)}$$

$$\mathbf{A}_{(1,2)} = A_{(1,2)} \hat{z} \quad \text{il dipolo è diretto lungo } z$$

$$\mathbf{A}_{(1,2)} = j\omega\epsilon\mu \Pi_{(1,2)} \rightarrow \mathbf{A}_{(1,2)} // \Pi_{(1,2)} \text{ e dunque } \Pi_{(1,2)} = \Pi_{(1,2)} \hat{z}$$

$$\begin{cases} \mathbf{H}_{(1,2)} = j\omega\epsilon_0 n^2 \left(\frac{\partial \Pi_{(1,2)} z}{\partial y} \hat{x} - \frac{\partial \Pi_{(1,2)} z}{\partial x} \hat{y} \right) \\ \mathbf{E}_{(1,2)} = \frac{\partial^2 \Pi_{(1,2)} z}{\partial x \partial z} \hat{x} + \frac{\partial^2 \Pi_{(1,2)} z}{\partial y \partial z} \hat{y} + \left(\frac{\partial^2 \Pi_{(1,2)} z}{\partial z^2} + k^2 \Pi_{(1,2)} z \right) \hat{z} \end{cases}$$

6/27





UN ESEMPIO

Imponendo le condizioni di continuità per la componente x del campo magnetico:

$$n_1^2 \frac{\partial \Pi_{1z}}{\partial y} = n_2^2 \frac{\partial \Pi_{2z}}{\partial y}$$

Imponendo le stesse condizioni per H_y , E_x e E_y si trovano quattro equazioni che vengono manipolate tenendo conto della simmetria:

$$n_1^2 \Pi_{1z} = n_2^2 \Pi_{2z}$$

$$\frac{\partial \Pi_{1z}}{\partial z} = \frac{\partial \Pi_{2z}}{\partial z}$$

Il problema dal punto di vista matematico è ben formulato

7/27



COME SI TROVA LA SOLUZIONE?

Supponiamo che anche il mezzo (2) sia il vuoto (assenza di interfaccia)



Il potenziale è della forma

$$\frac{e^{-jkr_1}}{r_1}$$

più un fattore costante

Campo radiato dal dipolo in spazio libero

$$\frac{-jp}{4\pi\omega\epsilon_0 n_1^2} \frac{e^{-jkr_1}}{r_1}$$

Si esprime il fattore

$$\frac{e^{-jkr_1}}{r_1}$$

attraverso un integrale:

$$\frac{e^{-jkr_1}}{r_1} = \frac{j}{2\pi} \int_{-\infty}^{+\infty} \int_{-\infty}^{+\infty} \frac{\exp[-j(\alpha_1 x + \alpha_2 y + \tau_1 |z-h|)]}{\tau_1} d\alpha_1 d\alpha_2$$

$$\tau_1 = \sqrt{k_1^2 - (\alpha_1^2 + \alpha_2^2)}$$

8/27



QUAL È L'IDEA?

E' una rappresentazione mediante sovrapposizione di onde piane

In determinate condizioni la riflessione e la trasmissione di un'onda piana è nota

Se il mezzo (2) non è il vuoto la soluzione può essere trovata calcolando i coefficienti di trasmissione e riflessione relativi a ciascuna onda piana

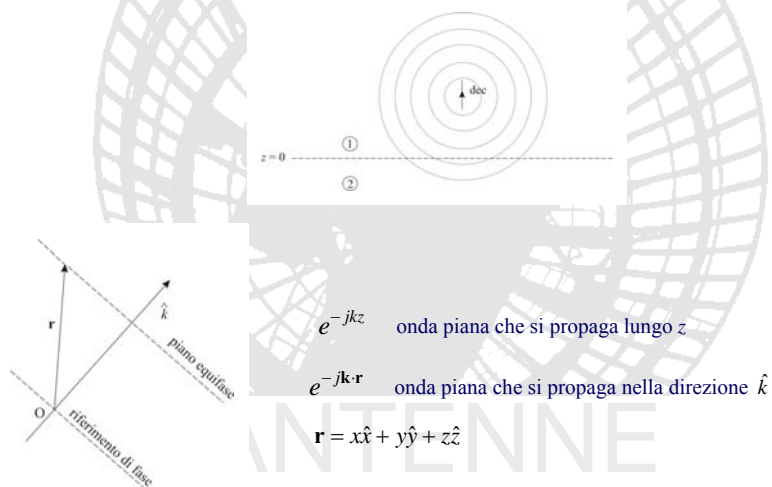


9/27



ASSENZA DI INTERFACCIA

Se non c'è l'interfaccia la soluzione è un'onda sferica che può essere rappresentata come sovrapposizione di onde piane



e^{-jkz} onda piana che si propaga lungo z

$e^{-j\mathbf{k}\cdot\mathbf{r}}$ onda piana che si propaga nella direzione $\hat{\mathbf{k}}$

$\mathbf{r} = x\hat{\mathbf{x}} + y\hat{\mathbf{y}} + z\hat{\mathbf{z}}$

10/27



ASSENZA DI INTERFACCIA

$$\mathbf{E} = \mathbf{E}_0 e^{-j\mathbf{k} \cdot \mathbf{r}}$$
$$\mathbf{H} = \mathbf{H}_0 e^{-j\mathbf{k} \cdot \mathbf{r}}$$

$\mathbf{E}_0, \mathbf{H}_0$ vettori complessi costanti

Dalle equazioni di Maxwell

$$\nabla \times \mathbf{E} = -j\omega\mu \mathbf{H}$$

$$\nabla \times \mathbf{H} = j\omega\varepsilon \mathbf{E}$$

$$\nabla \cdot \mathbf{E} = 0$$

$$\nabla \cdot \mathbf{H} = 0$$

$$\nabla \approx -j\mathbf{k}$$

$$-j\mathbf{k} \times \mathbf{E} = -j\omega\mu \mathbf{H}$$

$$-j\mathbf{k} \times \mathbf{H} = j\omega\varepsilon \mathbf{E}$$

$$-j\mathbf{k} \cdot \mathbf{E} = 0$$

$$-j\mathbf{k} \cdot \mathbf{H} = 0$$

11/27



ASSENZA DI INTERFACCIA

Ricavando \mathbf{H} dalla prima e sostituendo nella seconda

$$(k^2 - \omega^2\varepsilon\mu)\mathbf{E} = 0 \quad \mathbf{k} = \alpha_1\hat{x} + \alpha_2\hat{y} + \alpha_3\hat{z} \quad k = |\mathbf{k}|$$

$$\text{se } \mathbf{E} \neq 0 \quad \rightarrow \quad \omega^2\varepsilon\mu = k^2 = \alpha_1^2 + \alpha_2^2 + \alpha_3^2 \quad \alpha_3 = \sqrt{k^2 - (\alpha_1^2 + \alpha_2^2)}$$

$$\alpha_3 = \pm \sqrt{k^2 - (\alpha_1^2 + \alpha_2^2)}$$

$$\text{se } \mathbf{r} = x\hat{x} + y\hat{y} + z\hat{z} \quad \rightarrow \quad e^{-j\mathbf{k} \cdot \mathbf{r}} = e^{-j(\alpha_1 x + \alpha_2 y + \alpha_3 z)}$$

$z \rightarrow +\infty$ l'onda deve decadere a 0 \rightarrow torna l'espressione dell'esponenziale nel doppio integrale

Dunque erano onde piane!!

12/27



ONDE NON VISIBILI

Una sovrapposizione di onde piane è allora:

$$\int_{-\infty}^{+\infty} \int_{-\infty}^{+\infty} \mathbf{E}(\alpha_1, \alpha_2) e^{-j(\alpha_1 x + \alpha_2 y + \alpha_3 z)} d\alpha_1 d\alpha_2$$

$$\alpha_3 = \pm k \sqrt{1 - \frac{\alpha_1^2 + \alpha_2^2}{k^2}}$$

α_1, α_2 variano tra $-\infty$ e $+\infty$ quindi
esisteranno dei valori per cui la radice
diventa negativa

al variare di α_1, α_2 ho diverse onde

$$1 - \frac{\alpha_1^2 + \alpha_2^2}{k^2} > 0 \Rightarrow \text{VISIBILE}$$

$$1 - \frac{\alpha_1^2 + \alpha_2^2}{k^2} < 0 \Rightarrow \text{NON VISIBILE}$$

13/27



TECNICA SPETTRALE

Soluzione nello spazio libero

$$\Pi_1 = -\frac{p}{8\pi^2 \omega \epsilon_0 n_1^2} \int_{-\infty}^{+\infty} \int_{-\infty}^{+\infty} \frac{e^{-j\tau_1 |z-h|}}{\tau_1} e^{-j(\alpha_1 x + \alpha_2 y)} d\alpha_1 d\alpha_2$$

$$\tau_1 = \sqrt{k_1^2 - (\alpha_1^2 + \alpha_2^2)}$$

Il campo nel generico punto **P** del mezzo (1) sarà dato dalla
sovrapposizione di onde piane dirette e riflesse



TECNICA SPETTRALE

14/27



CAMPO RIFLESSO

Integrale per il campo riflesso

$$-\frac{P}{8\pi^2\omega\epsilon_0 n_1^2} \int_{-\infty}^{+\infty} \int_{-\infty}^{+\infty} R(\alpha_1, \alpha_2) e^{-j\tau_1 z} e^{-j(\alpha_1 x + \alpha_2 y)} d\alpha_1 d\alpha_2$$

coefficiente da determinare

Potenziale nel mezzo (1)

$$\Pi_1 = -\frac{P}{8\pi^2\omega\epsilon_0 n_1^2} \int_{-\infty}^{+\infty} \int_{-\infty}^{+\infty} \frac{e^{-j\tau_1 |z-h|}}{\tau_1} e^{-j(\alpha_1 x + \alpha_2 y)} d\alpha_1 d\alpha_2 -$$
$$\frac{P}{8\pi^2\omega\epsilon_0 n_1^2} \int_{-\infty}^{+\infty} \int_{-\infty}^{+\infty} R(\alpha_1, \alpha_2) e^{-j\tau_1 z} e^{-j(\alpha_1 x + \alpha_2 y)} d\alpha_1 d\alpha_2$$

15/27



CAMPO TRASMESSO

Potenziale nel mezzo (2)

$$\Pi_2 = -\frac{P}{8\pi^2\omega\epsilon_0 n_1^2} \int_{-\infty}^{+\infty} \int_{-\infty}^{+\infty} T(\alpha_1, \alpha_2) e^{j\tau_2 z} e^{-j(\alpha_1 x + \alpha_2 y)} d\alpha_1 d\alpha_2$$

$$\tau_2 = \sqrt{k_2^2 - (\alpha_1^2 + \alpha_2^2)}$$

siamo in $z < 0$ quindi si è cambiato segno

16/27



CALCOLO DEL COEFFICIENTE DI RIFLESSIONE

Per trovare $R(\alpha_1, \alpha_2)$ si impone onda piana per onda piana la continuità del campo all'interfaccia tra i due mezzi

$$\begin{cases} \frac{e^{-j\tau_1 h}}{\tau_1} + R(\alpha_1, \alpha_2) = \left(\frac{n_2}{n_1}\right)^2 T(\alpha_1, \alpha_2) \\ \frac{e^{-j\tau_1 h}}{\tau_1} - R(\alpha_1, \alpha_2) = \frac{\tau_2}{\tau_1} T(\alpha_1, \alpha_2) \end{cases}$$

Il procedimento è del tutto generale

17/27



CALCOLO DEL COEFFICIENTE DI RIFLESSIONE

Risolvendo si trovano i coefficienti

$$\begin{cases} R(\alpha_1, \alpha_2) = \frac{n_2^2 \tau_1 - \tau_2 e^{j\tau_1 h}}{n_2^2 \tau_1 + \tau_2} \\ T(\alpha_1, \alpha_2) = \frac{2e^{j\tau_1 h}}{n_2^2 \tau_1 + \tau_2} \end{cases} \quad n_{21} = \frac{n_2}{n_1}$$

Il potenziale nel mezzo (1) diventa

$$\Pi_1 = \frac{jp}{4\pi\omega\epsilon_0 n_1^2} \left[\frac{e^{jk_1 r_1}}{r_1} + \frac{e^{jk_1 r_2}}{r_2} + I_1 \right]$$

$$r_2 = [\rho^2 + (z+h)^2]^{1/2}$$

$$I_1 = -\frac{j}{\pi} \int_{-\infty}^{+\infty} \int_{-\infty}^{+\infty} \frac{\tau_2}{\tau_1 (n_2^2 \tau_1 + \tau_2)} e^{-j[\alpha_1 x + \alpha_2 y + \tau_1 (z+h)]} d\alpha_1 d\alpha_2$$

18/27





TERMINE CORRETTIVO

si operano le trasformazioni

$$\begin{aligned}\alpha_1 &= \lambda \cos \beta & x &= \rho \cos \phi \\ \alpha_2 &= \lambda \sin \beta & y &= \rho \sin \phi\end{aligned}$$

si ottiene

$$I_1 = -j \int_{-\infty}^{+\infty} \frac{\tau_2 H_0^{(1)}(\lambda \rho)}{\tau_1 (n_{21}^2 \tau_1 + \tau_2)} e^{j\tau_1(z+h)} \lambda d\lambda$$

$H_0^{(1)}(\cdot)$  funzione di Hankel di prima specie di ordine 0

19/27

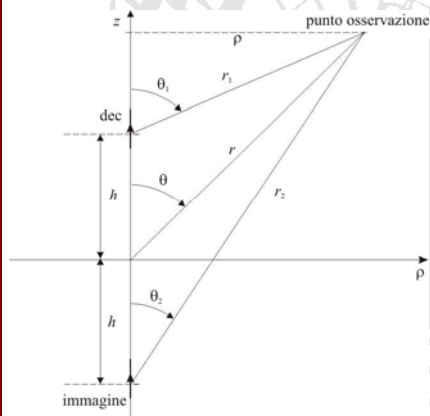


TERMINE CORRETTIVO

I_1 è un fattore di correzione che ha un contributo non nullo quando la conducibilità del mezzo (2) è finita

se $n_2 \gg n_1$ ($\sigma_2 \rightarrow \infty$)

il contributo di I_1 si annulla



La soluzione tende a coincidere con quella del problema di dipolo su piano perfettamente conduttore

20/27



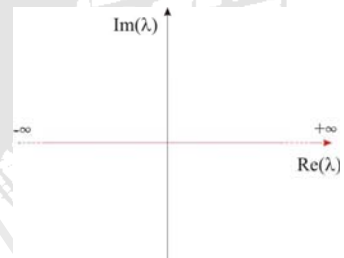
CAMPO RIFLESSO NEL MEZZO (1)

$$\Pi_1 = \frac{jp}{4\pi\omega\epsilon_0 n_1^2} \left[\frac{e^{jk_1 r_2}}{r_2} + I_1 \right] \quad \rightarrow \quad \text{contributo riflesso}$$

$$\frac{e^{jk_1 r_2}}{r_2} \quad \rightarrow \quad \text{contributo dipolo immagine}$$

$$I_1 = -j \int_{-\infty}^{+\infty} \frac{\tau_2 H_0^{(1)}(\lambda \rho)}{\tau_1 (n_2^2 \tau_1 + \tau_2)} e^{j\tau_1(z+h)} \lambda d\lambda \quad \rightarrow \quad \text{termine correttivo}$$

L'integrale viene valutato in campo complesso considerando λ come variabile complessa



21/27



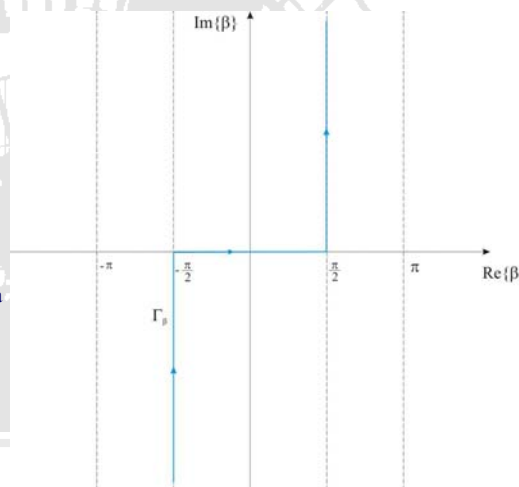
VALUTAZIONE DELL'INTEGRALE COMPLESSO

Si operano le trasformazioni

$$\begin{cases} \lambda = k_1 \sin \beta \\ z + h = r_2 \cos \vartheta_2 \\ \rho = r_2 \sin \vartheta_2 \end{cases}$$

ottenendo un integrale della forma

$$I_1 = \int_{\Gamma_\beta} F(\beta) e^{jk_1 r_2 \cos(\beta - \vartheta_2)} d\beta$$



22/27



$$I_1 = \int_{\Gamma_\beta} F(\beta) e^{jk_1 r_2 \cos(\beta - \theta_2)} d\beta$$

$$I_1 = \int_{\Gamma_\beta} F(\beta) e^{k_1 r_2 f(\beta)} d\beta$$

$$f(\beta) = f_R(\beta) + j f_I(\beta) = j \cos(\beta - \theta_2)$$

$$\frac{df(\beta)}{d\beta} = 0 \quad \text{punto di sella} \quad \beta = \beta_s = \pm \theta_2$$



Tra tutti i possibili cammini passanti per i punti di sella si sceglie quello tale che:

$$I_1 = \int_{\Gamma_\beta} F(\beta) e^{k_1 r_2 f(\beta)} d\beta$$

$$f(\beta) = f_R(\beta) + j f_I(\beta) = j \cos(\beta - \theta_2)$$

$$f_R(\beta) = f_R(\beta = \beta_s) - s^2$$

$$f_I(\beta) = f_I(\beta = \beta_s)$$

$$f(\beta) = f(\beta = \beta_s) - s^2$$

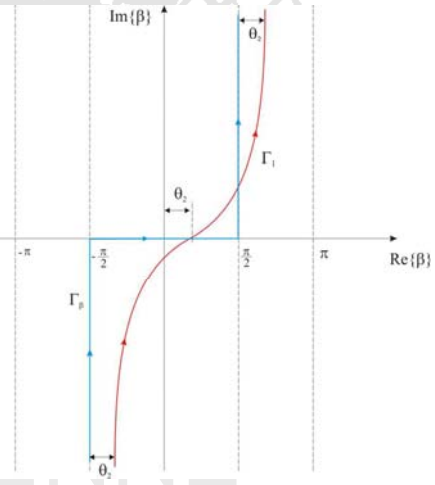


METODO DEL PUNTO DI SELLA

$$I_1(k_1 r_2) = \int_{\Gamma_1} F(\beta) e^{jk_1 r_2 \cos(\beta - \theta_2)} d\beta$$

$$I_1(k_1 r_2) = e^{k_1 r_2 f(\beta_s)} \int_{-\infty}^{+\infty} \phi(s) e^{-k_1 r_2 s^2} ds$$

$$\phi(s) = F(\beta) \frac{d\beta(s)}{ds}$$



25/27



$$I_1(k_1 r_2) = e^{k_1 r_2 f(\beta_s)} \int_{-\infty}^{+\infty} \phi(s) e^{-k_1 r_2 s^2} ds$$

$$\phi(s) = F(\beta) \frac{d\beta(s)}{ds}$$

Sviluppando in un intorno del punto di sella $s=0$

$$\phi(s) \cong \phi(0) + \phi'(0)s + \frac{1}{2}\phi''(0)s^2 + \dots$$

e fermandosi al primo termine dello sviluppo

$$I_1(kr) \cong e^{k_1 r_2 f(\beta_s)} \phi(0) \int_{-\infty}^{+\infty} e^{-k_1 r_2 s^2} ds \cong e^{k_1 r_2 f(\beta_s)} \phi(0) \sqrt{\frac{\pi}{k_1 r_2}}$$

← integrale di Poisson

26/27



INDICI DI RIFRAZIONE

f	Terra		Acqua di mare	
	n^2	n	n^2	n
1 kHz	$15+j2.16 \times 10^5$	$328(1+j)$	$81+j7.2 \times 10^7$	$6000(1+j)$
10 kHz	$15+j2.16 \times 10^4$	$104(1+j)$	$81+j7.2 \times 10^6$	$1900(1+j)$
100 kHz	$15+j2.16 \times 10^3$	$32.8(1+j)$	$81+j7.2 \times 10^5$	$600(1+j)$
1 MHz	$15+j2.16 \times 10^2$	$10.4(1+j)$	$81+j7.2 \times 10^4$	$190(1+j)$
10 Mhz	$15+j21.6$	$6.02+j3.14$	$81+j7.2 \times 10^3$	$60(1+j)$
100 Mhz	$15+j2.16$	$3.87+j720$	$81+j720$	$60+j53.4$

Variazione in frequenza dell'indice di rifrazione della terra e dell'acqua di mare

Terra
 $\sigma = 12 \times 10^{-3} \text{ mho/m}$
 $\epsilon_r = 15$

Acqua di mare
 $\sigma = 4 \text{ mho/m}$
 $\epsilon_r = 81$